

DOI:CNKI:61-1390/S.20111216.1123.014 网络出版时间:2011-12-16 11:23
网络出版地址:<http://www.cnki.net/kcms/detail/61.1390.S.20111216.1123.014.html>

跨度对日光温室气温和番茄生长的影响及模拟分析

刘玉凤^a,邹志荣^b,蒋国振^a

(西北农林科技大学 a 机械与电子工程学院, b 园艺学院,陕西 杨凌 712100)

[摘要] 【目的】研究跨度对日光温室保温性能及番茄生长的影响。【方法】对陕西杨凌地区越冬种植番茄的8,10和12 m 3种跨度西北型日光温室的气温、光照、热流等参数进行监测,以日光温室夜间传热模型为基础,通过夜间气温的变化来分析跨度对日光温室保温性能的影响,同时监测了不同跨度日光温室中番茄幼苗的生长情况。【结果】10 m 跨度日光温室1月份平均气温分别较8和12 m 跨度日光温室高1.9和2.6 ℃;种植番茄的平均株高分别高0.4和2.2 cm,平均茎粗分别高0.3和0.5 mm;夜间气温的模拟值与预测值吻合度均较高,其中8 m 跨度日光温室夜间气温预测模型的平均相对误差为4.40%,10 和12 m 跨度日光温室分别为2.43%和2.38%。【结论】供试3种跨度日光温室中,以10 m 跨度日光温室的保温性能最好,较适宜在杨凌地区推广应用。

[关键词] 日光温室;跨度;传热模型;保温性能;番茄

[中图分类号] S625.1

[文献标识码] A

[文章编号] 1671-9387(2012)01-0204-06

Effects of span on solar greenhouse's air temperature and tomato growth and analysis of simulation

LIU Yu-feng^a, ZOU Zhi-rong^b, JIANG Guo-zhen^a

(a College of Mechanical and Electronic Engineering; b College of Horticulture,
Northwest A&F University, Yangling, Shaanxi 712100, China)

Abstract: 【Objective】The study was aimed to explore the effects of span on greenhouse insulation performance and tomato growth.【Method】The research monitored the air temperature, light, heat transfer and other weather parameters in the northwest solar greenhouse in Yangling which spans 8 meters, 10 meters, 12 meters. Based on the nighttime thermal model of solar greenhouse, the effects of span on solar greenhouse were measured by nighttime air temperature and tomato crop growth.【Result】Average temperature during January of solar greenhouse in 10 meters span is higher than 8 meters and 12 meters at 1.9 and 2.6 ℃; tomatoes' average height in 10 meters is higher than 8 meters and 12 meters at 4 and 22 mm; tomatoes' average stem diameter in 10 meters is thicker than 8 meters and 12 meters at 0.3 and 0.5 mm; nighttime temperature model fitted the measured data better, the relative error in 8 meters is 4.40%, which in 10 meters and 12 meters is 2.43% and 2.38%.【Conclusion】The solar greenhouse in 10 meters span has the best insulation performance among the researched greenhouses, which is the better span to spread in Yangling district.

Key words: solar greenhouse; span; thermal model; insulation; tomato

日光温室是我国北方地区推广最为广泛的农业设施之一,开展设施栽培为解决农村剩余劳动力及

* [收稿日期] 2011-08-11

[基金项目] 国家科技支撑计划项目(2008BAD96B08-3)

[作者简介] 刘玉凤(1987—),女,山西临县人,在读硕士,主要从事农业生物环境研究。E-mail:liuyufeng5566@163.com

[通信作者] 邹志荣(1956—),男,陕西延安人,教授,博士生导师,主要从事设施农业研究。E-mail:zouzhirong2005@163.com

农民增产创收提供了一条可行之道^[1]。但传统的日光温室在光温环境和建筑结构等方面存在一些不足^[2]。学者对日光温室的采光、蓄热、结构、温室微环境等进行了大量研究^[3-10]。建筑结构决定了日光温室的土地占用面积、光照入射率等因素,直接影响日光温室的气象环境。孙治强等^[11]将日光温室的结构设计参数总结为五度(角度、高度、跨度、长度、厚度)、四比(高跨比、前后坡比、保温比、遮阴比),跨度就是其中的参数之一。确定日光温室跨度的传统方法是参考当地最低气温进行设计,依据是室内外温差与日光温室传热的关系。亢树华等^[12]对辽沈地区4座不同高度、跨度处理日光温室的光温参数进行了比较,得出北纬40°以北、年最低气温-20℃以下区域宜采用小跨度日光温室。陶正平等^[13]对3座不同高度、跨度日光温室的光温环境和经济效益进行了比较,发现在北方高寒地区8m跨度、3.7m脊高的日光温室性能较好。近年来,随着建筑材料的革新和建筑机械的应用,建造日光温室的效率大幅提高。出于土地利用率和温室可用面积的考虑,陕西杨凌、山东寿光、辽宁沈阳等地陆续建立起了大跨度日光温室,各地对其也进行了相关研究。佟国红等^[14]对辽沈地区12m跨度日光温室的光照辐射、温度、湿度等参数进行监测,比较了晴天和阴天

各因素的差异。宋明军等^[15]详述了10m跨度西北型日光温室的设计建造和温度变化规律,表明10m跨度日光温室土地利用率较同地区8m跨度日光温室高,且温室保温性能并未降低。

但前人的研究仅局限于不同跨度日光温室性能的比较,并没有深入研究跨度对温室环境的影响机理。为此,本研究以日光温室传热模型为基础,建立不同跨度日光温室夜间气温预测模型,通过实测参数予以验证,以夜间气温变化来分析跨度对日光温室保温性能的影响,以期为探明跨度对温室环境影响的机理奠定基础。

1 材料与方法

1.1 供试温室与立地条件

供试的3座温室(GH-08,8m跨度日光温室;GH-10,10m跨度日光温室;GH-12,12m跨度日光温室),位于陕西杨凌农业高新技术产业示范区(北纬34°17',东经108°4')西小寨村。供试日光温室均坐北朝南,东西延长,为西北型下沉式结构。采光面为PE塑料薄膜,夜间用2.5cm厚草帘保温,后墙为机打梯形土墙。种植作物均为番茄,定植时间为2010-11-15前后,由技术员统一指导管理。供试温室的材料及结构参数如表1所示。

表1 供试温室的材料及结构参数

Table 1 Materials and structure parameter of tested greenhouses

温室 Greenhouse	覆盖材料 Material	下挖深度/m Excavated depth	跨度/m Span	脊高/m Ridge height	后屋角/(°) Back angle	长度/m Length	后墙尺寸/m Back wall		
							高度 height	顶厚 Top thickness	底厚 Bottom thickness
GH-08	PE膜+草帘 PE film+Straws	1.0	8	3.0	55	100	2.0	1.0	4.0
GH-10	PE膜+草帘 PE film+Straws	1.2	10	4.0	55	100	3.0	1.2	5.0
GH-12	PE膜+草帘 PE film+Straws	1.6	12	4.6	55	100	4.0	1.5	6.0

1.2 气温及作物生长的监测

1.2.1 气温的监测与布点方法 气温监测使用哈尔滨物格电子仪器公司生产的测量精度为0.3℃的多路温度测试仪(PDE-R4);热流密度测量使用日本京都电子公司生产的多点热流仪(HFM-215),测量范围为(0~±99 999)W/m²(单位面积热流量)。监测点的布置如图1所示。

1) 温度布点。在温室1/2长度截面、冠层高度平面、边界处共布置13个测点。

2) 热流布点。在温室各边界中心点处共布置5个测点。

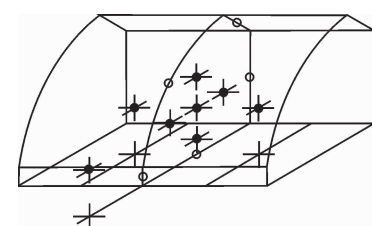


图1 温室测点布置的示意图

空心点为边界布点;实心点为空间布点

Fig. 1 Distribution of observation points

Hollow points are boundary distribution;

solid points are space distribution

1.2.2 作物生长的监测方法 在供试3座日光温室内各盆栽40株番茄,测量苗期番茄株高和茎粗2

个形态指标,以评价不同跨度日光温室内作物的生长情况。株高使用 5 m 卷尺测量,测量精度为 0.5 cm。茎粗使用桂林广陆数字测控公司生产的电子数显游标卡尺测量,精度为 0.01 mm。

1.3 传热模型的建立与验证

温室夜间的热量传递,反映了日光温室的保温性能,在一定程度上可以体现出温室性能的优劣。所以本研究以夜间温室内空气的能量得失来评价温室性能。基于温室结构实测参数,将相关量以跨度为自变量作如下假设:1) 温室前墙、地面、后墙、后屋面、覆盖薄膜是温室的 5 个换热表面,其他部分换热量忽略不计。2) 温室长度均为 100 m,高跨比为 1:2.5,后屋面仰角为 55°,后屋坡长度为跨度的 1/8,下挖深度为跨度的 1/8。

1.3.1 温室室内空气传热模型 以夜间日光温室内部空气为研究对象,其热量变化与各个接触面有关,根据前面的假设,共有前墙、地面、后墙、后屋面、覆盖薄膜 5 个换热表面,各边界与室内空气的换热量为:

$$Q_i = \alpha_i \times S_i \times \Delta T_i; \quad (1)$$

$$Q = \sum Q_i. \quad (2)$$

式中: Q_i 为室内空气与边界 i 的传热量(J); α_i 为室内空气与边界 i 的换热系数($W/(m^2 \cdot K)$), $\alpha_i = q_i / \Delta T_i$,其中 q_i 为室内空气与边界 i 的热流量(W/m^2), ΔT_i 为室内空气与边界 i 的温度差(K); S_i 为室内空气与边界 i 的换热面积(m^2); Q 为室内空气的换热总量(J)。

根据假设条件及实测值拟合得到相关参数的表达式为:

$$S_i = \varphi_i(L); \quad (3)$$

$$\alpha_i = \varphi_i(\tau); \quad (4)$$

$$\Delta T_i = f_i(\tau) - f_0(\tau). \quad (5)$$

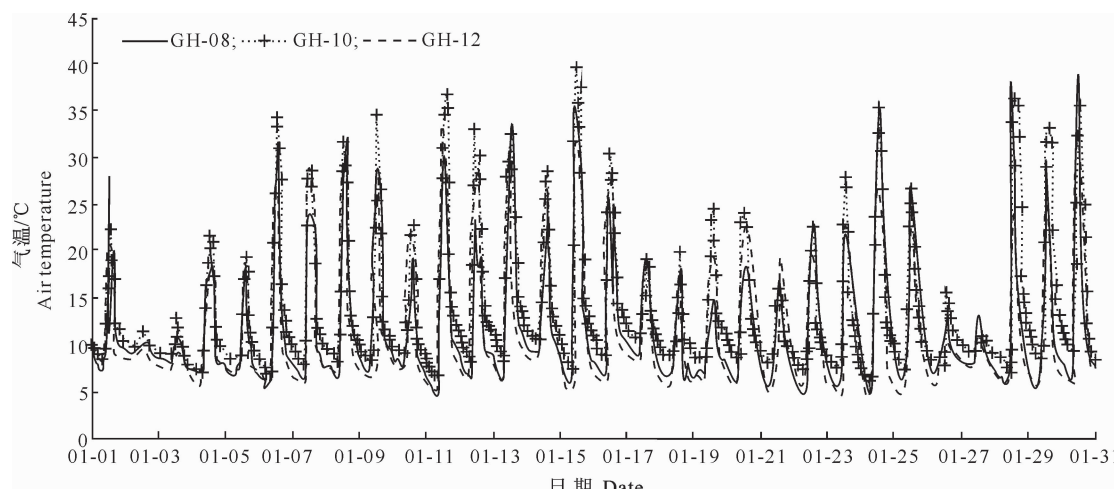


图 2 2011-01 3 种跨度日光温室内气温变化的比较

Fig. 2 Comparison of indoor air temperatures of three spans' greenhouse during January in 2011

综上,从 0 到 τ 时刻室内空气换热总量为:

$$Q = \sum \int_0^\tau \varphi_i(L) \varphi_i(\tau) (f_i(\tau) - f_0(\tau)) d\tau. \quad (6)$$

式中: τ 为以盖帘时刻为 0 点的时间值, $\varphi_i(L)$ 为边界 i 与室内空气的换热面积随跨度 L 变化的函数, $\varphi_i(\tau)$ 为边界 i 与室内空气的换热系数随时间 τ 变化的函数, $f_i(\tau)$ 为边界 i 的温度随时间 τ 变化的函数, $f_0(\tau)$ 为室内气温随时间 τ 变化的函数。

1.3.2 温室气温预测模型 由式(2)可以得到从 0 到 τ 时刻室内空气与边界的换热总量 Q , Q 同时也是室内空气的总能量变化量,表现为室内空气热容量的变化: $Q = \sum Q_i = c \times \rho \times V \times \Delta T$ 。 (7)

$$\text{气温变化量: } \Delta T = Q / (c \times \rho \times V). \quad (8)$$

设定盖帘时刻初始气温为 T_0 ,可以推得:

$$T_\tau = T_0 - \sum \int_0^\tau \frac{\int_0^\tau \varphi_i(L) \varphi_i(\tau) (f_i(\tau) - f_0(\tau)) d\tau}{c * \rho * \sigma(L)} d\tau. \quad (9)$$

式中: c 为室内空气的比热容($kJ/(kg \cdot K)$), ρ 为室内空气密度(kg/m^3), V 为温室容积(m^3), ΔT 为室内气温变化量(K), T_τ 为 τ 时刻室内气温。

由式(9)得到 T_τ 随时间变化的函数关系式,将温室内气温实测值 T_τ 与相应时刻函数值 T_τ 进行比较,即可对温室传热模型进行验证。

2 结果与分析

2.1 不同跨度日光温室气温的比较

杨凌位于陕西关中地区,该地区 1 月份平均气温为全年最低,因此选择 1 月份数据分析不同跨度日光温室的气温差异较有代表性。图 2 为 2011-01-3 座不同跨度日光温室内气温的统计图。

图2表明,温室气温随着外界天气条件变化有一定的波动。3座日光温室的气温高低有如下顺序:GH-10>GH-08>GH-12。

表2为2011-01 3座温室气温的统计数据。日光温室内最低气温是对作物生长影响较大的因素,易造成番茄落花落果、生长萎缩等。表2显示,GH-10最低气温较GH-08和GH-12分别高1.4和1.8℃,说明温室GH-10保温蓄热性能较好,能够在极端天气下保持较高的气温,较好地保证了作物的生长。

表2 2011-01 3种跨度日光温室内气温的统计结果

Table 2 Statistics of air temperature of three spans' solar greenhouse during January, 2011 ℃

温室 Code	最高气温 Max	最低气温 Min	平均气温 Mean	平均温差 Difference
GH-08	38.2	4.5	11.1	1.9
GH-10	39.8	5.9	13.0	0.0
GH-12	34.4	4.1	10.4	2.6

3座日光温室气温有一定差异,平均气温最高的是GH-10,为13.0℃,分别比GH-08和GH-12高1.9和2.6℃。说明温室GH-10保温蓄热性能

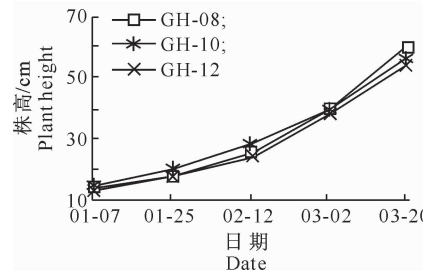


图3 不同跨度日光温室内番茄株高和茎粗的比较

Fig. 3 Contrast of plant height and stem diamete of tomatoes in different spans' greenhouse

2.3 不同跨度日光温室气温预测模型的验证

选取2011-02-10 T 20:00—2011-02-11 T 06:00的数据,将相关参数和数值代入式(9),得到不同跨度日光温室在不同时刻的气温模拟值,将气温模拟值与实测值绘制曲线,结果如图4所示。气温模拟值与实测值的对比采用IA(Index of Agreement)^[16]法进行,其计算公式如下:

$$IA = 1 - \sum_{i=1}^N (X_{pi} - X_{mi})^2 / \sum_{i=1}^N (|X'_{pi}| + |X'_{mi}|)^2 \quad (10)$$

式中: X_{pi} 为模拟值; X_{mi} 为实测值; $X'_{pi} = X_{pi} - X_{pave}$,其中 X_{pave} 为模拟值的平均值; $X'_{mi} = X_{mi} - X_{mave}$,其中 X_{mave} 为实测值的平均值。

由IA的取值情况可以看出模拟值与实测值的吻合程度。IA的取值范围是0~1,其中当IA=1时,表示二者完全吻合;当IA=0时,表示二者完全

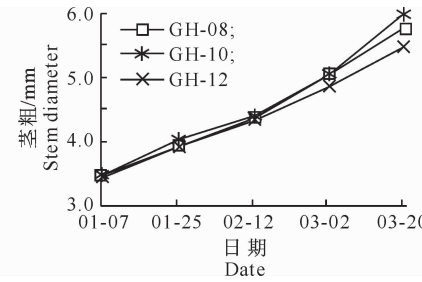
较为稳定,优于温室GH-08和GH-12,更有利于作物生长(表2)。

2.2 不同跨度日光温室番茄生长的比较

图3所示为番茄生长过程中株高和茎粗的生长动态曲线。由图3可以看出,定植初期3座温室的番茄株高基本相同;中期GH-10番茄株高较高;进入3月份天气转暖,GH-10番茄株高生长放缓,而GH-08番茄株高快速生长,并最终超越GH-10番茄;GH-12番茄的株高始终较低。在整个生长过程中,GH-10的番茄平均株高比GH-08高0.4 cm,比GH-12高2.2 cm。

由图3还可以看出,定植初期3座温室番茄茎粗基本相同;中期GH-10番茄的茎粗值略大于另外2座温室;后期GH-10番茄茎粗值仍然最大,GH-08番茄茎粗值大于GH-12。后期GH-10番茄平均茎粗比GH-08高0.3 mm,比GH-12高0.5 mm。

综合比较认为,GH-10番茄生长过程更为稳定,植株更为粗壮,是最适宜番茄生长的温室类型。



不吻合。

图4显示,3座温室气温的模拟值与实测值吻合较好。相比较而言,GH-08的偏差较大,最大温差为0.90℃,最大相对误差为9.09%,平均相对误差为4.40%,IA=0.64,气温模拟值与实测值较为相符。分析造成误差的原因是模型中假设温室内气温值近似相等,可以用温室中心点的气温值来代替,而GH-08由于跨度较小,与室外空气的相对换热面积较大,容易受到外界环境气温变化的影响,而模型未能较好地解决外界环境变化对温室内换热参数的影响,从而造成GH-08相对误差较大。GH-10和GH-12的跨度较大,室内空气与外界环境之间具有较大的缓冲层,温室内空气的换热过程较为平缓,所以气温模拟值与实测值的吻合程度较好,最大温差分别为0.64和0.55℃,最大相对误差分别为5.7%

和 5.6%，平均相对误差分别为 2.43% 和 2.38%，
IA 值分别为 0.84 和 0.85，较好地反映了温室夜间

气温的变化过程。

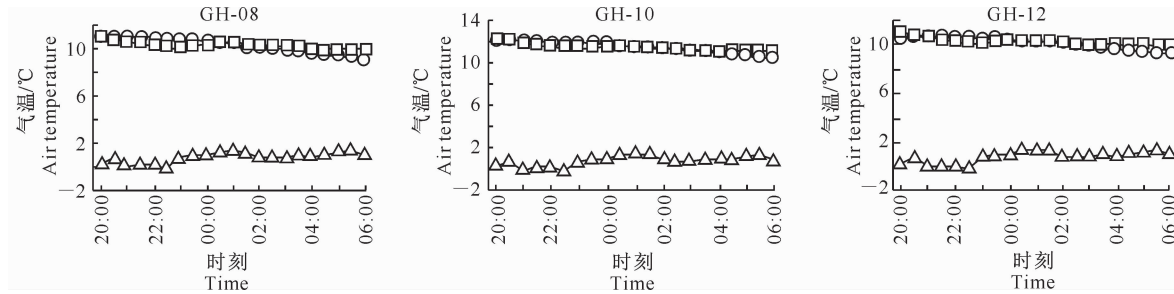


图 4 不同跨度日光温室气温模拟值与实测值的比较

-○-. 气温模拟值; -□-. 气温实测值; -△-. 室外气温

Fig. 4 Comparison of the simulated and measured temperature in different spans' greenhouse

-○-. Simulation value of ari temperature; -□-. Measured value of ari temperature; -△-. Outside of ari temperature

由气温预报模型可以看出, GH-10 的初始气温始终高于另外 2 座温室, 说明 GH-10 白天的蓄热性能是 3 座供试日光温室中最好的。通过模型计算及实际监测可知, GH-10 的夜间气温平均值为 11.4 °C, 比 GH-08 高 1.2 °C, 比 GH-12 高 1.1 °C, 说明 GH-10 的夜间保温性能优于 GH-08 和 GH-12。

3 结论与讨论

本研究对 3 种不同跨度日光温室的室内外气温和作物生长情况进行了监测分析, 并基于传热模型对不同跨度日光温室的夜间气温进行了模拟, 得出如下结论: 外界光温环境是影响日光温室内微环境的主要因素, 在恶劣天气条件下, 日光温室内的环境也急剧恶化。随着跨度的增加, 日光温室内平均气温呈先升高后降低的趋势, 跨度为 10 m 时温室的平均气温最高, 作物生长情况最好。说明在 8~12 m 跨度之间存在最佳跨度, 可使日光温室的保温蓄热性能达到最优。经实测气温验证, 本研究所建立的日光温室夜间传热模型平均相对误差小于 5%, 气温预测值与实测值吻合程度较高, 表明传热模型能够反映不同跨度日光温室夜间气温的变化过程。

跨度对日光温室的影响是一个复杂的问题, 本研究仅进行了初步探索。本研究确定了最佳跨度的范围, 但未能得到最佳跨度值; 所建立的夜间气温预测模型仍需更多实践检验, 还不能适用于白天揭帘状态温室热环境的模拟。因此, 跨度对日光温室性能的影响还需要更深入的研究, 以完善相关理论, 更好地指导生产实践。

[参考文献]

[1] 周长吉, 杨振声. 准确统一“日光温室”定义的商榷 [J]. 农业工

程学报, 2002, 18(6): 200-202.

Zhou C J, Yang Z S. Discussion on a precise definition of “solar greenhouse” [J]. Transactions of the Chinese Society of Agricultural Engineering, 2002, 18(6): 200-202. (in Chinese)

[2] 李天来. 我国日光温室产业发展现状与前景 [J]. 沈阳农业大学学报, 2005, 36(2): 131-138.

Li T L. Current situation and prospects of greenhouse industry development in China [J]. Journal of Shenyang Agricultural University, 2005, 36(2): 131-138. (in Chinese)

[3] 郭庆炉, 梁云娟, 段爱旺. 日光温室内光照特点及其变化规律研究 [J]. 农业工程学报, 2003, 19(3): 200-204.

Gao Q L, Liang Y J, Duan A W. Light characteristics and its changing laws in solar greenhouse [J]. Transactions of the Chinese Society of Agricultural Engineering, 2003, 19 (3): 200-204. (in Chinese)

[4] 佟国红, 王铁良, 白义奎, 等. 日光温室墙体传热特性的研究 [J]. 农业工程学报, 2003, 19(3): 186-189.

Tong G H, Wang T L, Bai Y K, et al. Heat transfer property of wall in solar greenhouse [J]. Transactions of the Chinese Society of Agricultural Engineering, 2003, 19(3): 186-189. (in Chinese)

[5] 李小芳, 陈青云. 日光温室山墙对室内太阳直接辐射得热量的影响 [J]. 农业工程学报, 2004, 20(5): 241-245.

Li X F, Chen Q Y. Effects of different wall materials on the performance of heat preservation of wall of solar greenhouse [J]. Transactions of the Chinese Society of Agricultural Engineering, 2004, 20(5): 241-245. (in Chinese)

[6] 吴春艳, 赵新平, 郭文利. 日光温室作物热环境模拟及分析 [J]. 农业工程学报, 2007, 23(4): 190-195.

Wu C Y, Zhao X P, Guo W L. Simulation and analysis of the temperature inside the solar greenhouse [J]. Transactions of the Chinese Society of Agricultural Engineering, 2007, 23(4): 190-195. (in Chinese)

[7] 佟国红, 李保明. 日光温室内各表面太阳辐射照度的模拟计算 [J]. 中国农业大学学报, 2006, 11(1): 61-65.

Tong G H, Li B M. Simulation of solar radiation on surfaces of a solar greenhouse [J]. Journal of China Agricultural Universi-

- ty, 2006, 11(1): 61-65. (in Chinese)
- [8] Bot G, Van B N, Challa H, et al. The solar greenhouse: state of the art in energy saving and sustainable energy supply [J]. Acta Horticulture, 2005, 691(2): 501-503.
- [9] Sonneveld P J, Swinkels G, Campen J, et al. Performance results of a solar greenhouse combining electrical and thermal energy production [J]. Biosystems Engineering, 2010, 106(1): 48-57.
- [10] Nayak S, Tiwari G N. Energy and exergy analysis of photovoltaic/thermal integrated with a solar greenhouse [J]. Energy and Buildings, 2008, 40(11): 2015-2021.
- [11] 孙治强, 王吉庆. 黄淮改良型日光温室的设计与性能研究 [J]. 农业工程学报, 1997, 12(增刊): 41-47.
Sun Z Q, Wang J Q. The design and performance of Huang-huai improved greenhouse [J]. Transactions of the Chinese Society of Agricultural Engineering, 1997, 12(Supple): 41-47. (in Chinese)
- [12] 穆树华, 戴雅东, 房思强, 等. 节能型日光温室采光面造型及高度和跨度的研究 [J]. 中国蔬菜, 1993(1): 6-9.
Kang S H, Dai Y D, Fang S Q, et al. Study of lighting surface, height and span in energy-saving solar greenhouse [J]. Journal of Chinese Vegetables, 1993(1): 6-9. (in Chinese)
- [13] 陶正平, 李梦玲, 边鸣镝, 等. 高寒地区的日光温室优化设计 [J]. 中国蔬菜, 2002(2): 19-21.
- Tao Z P, Li M L, Bian M D, et al. The optimization for the solar greenhouses in cold areas [J]. Journal of Chinese Vegetables, 2002(2): 19-21. (in Chinese)
- [14] 佟国红, 李天来, 王铁良. 大跨度日光温室内微气候环境测试分析 [J]. 华中农业大学学报, 2004, 22(1): 67-73.
Tong G H, Li T L, Wang T L. Experimental research on microclimate environment in a large-scale solar greenhouse [J]. Journal of Huazhong Agricultural University, 2004, 22(1): 67-73. (in Chinese)
- [15] 宋明军, 赵鹏. 西北 XB-GV 型大跨度日光温室设计建造及实践 [J]. 农业工程技术: 温室园艺, 2006(7): 16-18.
Song M J, Zhao P. Practice on designing and constructing of big span solar greenhouse of XB-GV type in northwest China [J]. Agricultural Engineering Technology: Greenhouse Gardening, 2006(7): 16-18.
- [16] 孟力力, 杨其长, Gerard P A Bot, 等. 日光温室热环境模拟模型的构建 [J]. 农业工程学报, 2009, 25(1): 164-170.
Meng L L, Yang Q C, Gerard P A Bot, et al. Visual simulation model for thermal environment in Chinese solar greenhouse [J]. Transactions of the Chinese Society of Agricultural Engineering, 2009, 25(1): 164-170. (in Chinese)

(上接第 203 页)

- [20] 曾广娟, 李春敏, 张新忠, 等. 适于双向电泳分析的苹果叶片蛋白提取方法 [J]. 色谱, 2009, 27(4): 484-488.
Zeng G J, Li C M, Zhang X Z, et al. Efficient protein extraction method from apple leaves for apple proteomic analysis using two-dimensional electrophoresis analysis [J]. 2009, 27(4): 484-488. (in Chinese)
- [21] 郭尧君. 蛋白质电泳实验技术 [M]. 北京: 科学出版社, 1999.
Guo Y J. Electrophoresis experiment technology for protein [M]. Beijing: Science Press, 1999. (in Chinese)
- [22] Oguri T, Takahata I, Katsuta K, et al. Proteome analysis of rat hippocampal neurons by multiple large gel two-dimensional electrophoresis [J]. Proteomics, 2002, 2(6): 666-672.
- [23] 王一鸣, 花宝光, 王有年, 等. 桃果实蛋白质双向电泳影响因素的研究 [J]. 园艺学报, 2007, 34(6): 1579-1584.
Wang Y M, Hua B G, Wang Y N, et al. Studies on influence factors of protein in two-dimensional electrophoresis in *Prunus persica* fruit [J]. Acta Horticulturae Sinica, 2007, 34(6): 1579-1584. (in Chinese)
- [24] 黎飞, 徐秋芳, 臧宪朋, 等. 番茄子叶总蛋白双向电泳体系的建立 [J]. 园艺学报, 2010, 37(4): 661-668.
Li F, Xu Q F, Zang X P, et al. Establishment of two-dimensional electrophoresis system of tomato cotyledons [J]. Acta Horticulturae Sinica, 2010, 37(4): 661-668. (in Chinese)
- [25] Hawkesford M J, Belcher A R. Differential protein synthesis in response to sulphate and phosphate deprivation: Identification of possible components of plasma-membrane transport systems in cultured tomato roots [J]. Planta, 1991, 185: 323-329.
- [26] Veronique S, Marianne D, Michel C, et al. A comparison of two-dimensional electrophoresis data with phenotypical traits in *Arabidopsis* leads to the identification of a mutant (*crl1*) that accumulates cytokinins [J]. Planta, 1997, 202: 62-69.